

## YAG lidar による成層圏エアロゾルの観測

YAG lidar observation of the stratospheric aerosol

柴田 隆、平 隆介、藤原玄天、云野求和

Takashi Shibata, Ryusuke Taira, Motozo Fujiwara,  
Motokazu Hirano.

九州大学理学部

Faculty of Science, Kyushu University

九州大学では 1973 年より Ruby laser を用いて成層圏エアロゾルの観測を行っている。それによると、1974 年 11 月の Fuego 火山噴火によるエアロゾル増加の影響も '78 年以後ではほとんどなくなり、現在はエアロゾルの非常に少ない時期となっている。少ないエアロゾルを観測するにはより良い精度が要求される。

'78 年以後受信系の改良により従来より精度の良い観測を行うことができるようになった。  
しかし、calibration に用いる大気密度の誤差によりルビーの波長 ( $0.694 \mu\text{m}$ ) では最終結果の radar cross section に数 10% の誤差が生じる。このことから精度の良い観測を行うために YAG laser の導入を考えた。

レーザーレーダー方程式により高さ  $z$  からの受信エコー  $P(z)$  は

$$P(z) = K \frac{\beta_M + \beta_D}{z^2} \quad (1)$$

$K = \text{const.}, \beta_M, \beta_D$  : 高さ  $z$  における  
単位体積中の気体、及びエアロゾルによる  
後方散乱係数。

で表される。他方、大気密度がわかれば気体のみによるエコー  $P_0(z)$  は計算できて

$$P_0(z) = K \frac{\beta_M}{z^2} \quad (2)$$

と表される。バルーン等による観測にもとづ

いて  $10 \sim 15 \text{ km}$  もしくは  $\sim 30 \text{ km}$  附近に  
ダストのない層 ( $\beta_D = 0$ ) を仮定すると  $K$  を  
決定できる。これより Scattering ratio  
 $R$  は

$$\frac{P(z)}{P_0(z)} = \frac{\beta_M + \beta_D}{\beta_M} = R \quad (3)$$

として求まる。(3) より  $\beta_D$  は

$$\beta_D = \beta_M (R - 1) \quad (4)$$

で求まる。 $\beta_M$  はレーリー散乱で  $\lambda^{-4}$ 、 $\beta_D$  は  
ミー散乱で概略  $\lambda^{-1}$  に比例し

$$R - 1 = \beta_D / \beta_M \propto \lambda^3 \quad (5)$$

となる。従って、(4) より YAG の波長 ( $0.64 \mu\text{m}$ ) ではルビーに比べて数倍良い精度で  $\beta_D$  が求まることが期待される。

TRANSMITTER	RUBY	Nd:YAG	Nd:YAG 2nd
WAVELENGTH( $\mu\text{m}$ )	0.694	1.064	0.532
ENERGY PER PULSE(J)	0.5	0.7	0.14
PULSE REP. RATE(pps)	0.1	10.0	10.0
BEAM DIVERGENCE(mrad)	$\lesssim 0.5$	$\lesssim 0.2$	$\lesssim 0.2$
RECEIVER			
TELESCOPE DIAMETER(cm)		50.	
FIELD OF VIEW(mrad)	3.5	1.6	3.5
P.M.T	EMI 9558B	VARIAN 164A	EMI 9558B

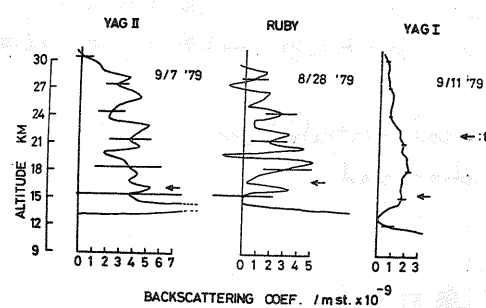


図. 1

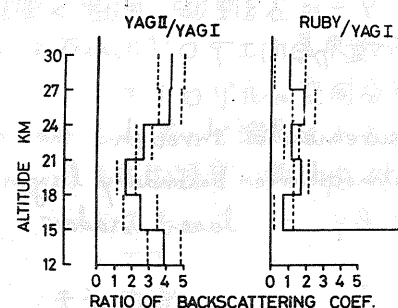


図. 2.

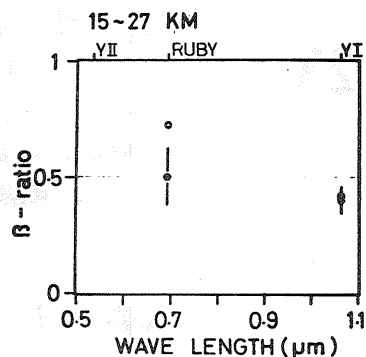


図. 3. (○) は ZOLD.

$$n(r) \propto \exp\left(-\frac{\ln(r/r_m)}{2\ln^2\alpha}\right)$$

$r_m = 0.035 \mu\text{m}$ ,  $\alpha = 2$ , に対する  
計算値。

表1にエアロゾル観測に用いているライダーモードを示す。YAG(F.)の受光素子としてはPMT. Varian 164A (2% at 1.064 μm)を用いている。これに従来のSIのPMTに比べて約2倍 量子効率が大きい。ただし受光面の大きさ ( $5.5 \times 4.3 \text{ mm}$ ) と望遠鏡のf値 ( $2000 \text{ mm}$ ) から受信視野は  $1.6 \text{ mrad}$  以下となる。送受信間隔が  $14 \text{ m}$  で、送信ビームの広がりが約  $0.2 \text{ mrad}$  であるので  $10 \text{ km}$  より高い所からのエコーを得ようとすると、ビームと視野が重なり切れるのが約  $8 \text{ km}$  である。このため Alignment には注意を要する。

図1に実際得られたYAG(F.), Ruby, YAG(SH.)に対する後方散乱係数 ( $\beta_D$ ) を示す。図からも明らかのように YAG(SH.), Ruby に比べて YAG(F.) でははあるかに良い精度で  $\beta_D$  が求まっている。

エアロゾルの粒径に対して、波長によって断面積が異なるので、多波長で観測をおこなえば、エアロゾルの粒径分布に対する情報を得ることが出来る。ごく単純に言えばその波長より大きな粒子の断面積の和がその波長に対する  $\beta_D$  となる。2週間ほど日付ははずれているが、図1の YAG(F.)に対する YAG(SH.), Ruby の  $\beta_D$  の比を図2に示す。夏季は大気が安定であるので両者の差は大きめ影響を受けるほどと考えられる。これによると YAG(SH.)との比較から  $18 \sim 21 \text{ km}$  でより大粒径の粒子が相対的に多くなっていることがわかる。これは他のライダー直接サンプリング方法による観測結果と一致している。ただし Rubyとの比較ではこの傾向は

図3は図1の  $15 \sim 27 \text{ km}$  の平均値を YAG II (SH.)に対するものとの比として示したものである。成層圏エアロゾルの粒径分布としてこれまで唱えられていて power law, ZOLD, exponential 等の分布について同様の比を計算すると、後方散乱は粒径分布に対してあまり敏感ではなく YAG I (F.) ではすべて観測誤差の範囲内に入ってしまう。また Ruby については誤差を考慮しても計算値はすべて観測値より大きくなる。これは、実際にそうこう値をもつ分布である可能性と、normalize ( $\beta_D = 0$  と仮定する) 高さに問題がある可能性があり、今後の観測を加えて検討しなければならない。エアロゾルによる extinction (減衰) は粒径分布に対してより敏感である。シニガリウムでは SAGEによる extinction のデータを加えて粒径分布の検討を行う予定である。

①岩坂, 井林, 日本地球電磁気学会'79年春予稿 P24.

②Far low et al. JGR. 81, 733-743 (1979)

